

## R-ФУНКЦИИ В МАТЕМАТИЧЕСКОМ МОДЕЛИРОВАНИИ ГЕОМЕТРИЧЕСКИХ ОБЪЕКТОВ, ОБЛАДАЮЩИХ СИММЕТРИЕЙ

**Ключевые слова:** *типы симметрии, R-функции, нормализованные уравнения границ, правильные многоугольники, трансляция.*

### ПОСТАНОВКА ЗАДАЧИ

Феномен симметрии, наблюдаемый в природе, начиная с молекул, кристаллов, растительного и животного мира, был позаимствован и перенесен человеком в архитектуру, строительство, машиностроение не только исходя из эстетики, но и для достижения рациональности, равновесности, устойчивости, надежности, облегченности и удешевления зданий, сооружений, машин, механизмов и других конструкций и изделий. Все это нашло отражение в геометрии, алгебре, анализе, других разделах математики и стимулировало изучение законов симметрии, методов их описания и применения, постановку новых проблем. С древнейших времен существовало представление о симметрии в широком смысле — как эквиваленте уравновешенности и гармонии. Теории, основанные на законах симметрии в естественных науках, могут иметь существенное значение, а способы применения симметрии — отличаться тонкостью замысла и тщательной продуманностью в деталях [1]. «Насколько я могу судить, — писал Вейль, — все априорные утверждения физики имеют своим источником симметрию» [2].

Отражение — наиболее известная и часто встречающаяся в природе разновидность симметрии (рис. 1, а). Понятие зеркальной симметрии имеет фундаментальное значение для математической теории симметрии, но роль ее в науке несравненно шире. В качестве примера можно привести открытую ПаSTERом связь между вращением плоскости поляризованного света, растворами некоторых химических веществ и отсутствием зеркальной симметрии в формах кристаллов, выпадающих из этих растворов. Объяснение наблюдаемого ПаSTERом эффекта состоит в том, что если и кристалл, и раствор вращают плоскость поляризации света, то отдельные молекулы исследуемого вещества не могут обладать зеркальной симметрией.

Неограниченное повторение любого геометрического объекта (ГО) в пространстве через определенное расстояние позволяет получить симметрию, известную под названием трансляции, или параллельного переноса (рис 1, б).

В калейдоскопе симметрия образуется с помощью двух зеркал, пересекающихся под надлежаще выбранным углом. При этом можно создать конфигурацию, обладающую поворотной и зеркальной симметрией (рис. 1, в). Это означает, что внешний вид узора не изменится, если его повернуть на определенный угол вокруг оси, проходящей через центр. Если угол поворота равен  $90^\circ$ , то для совершения полного оборота на  $360^\circ$  необходимо совершить один за другим четыре поворота. В этом случае ось называется осью симметрии четвертого порядка. Если угол поворота равен  $60^\circ$ , то ось называется осью симметрии шестого порядка и т.д.

Существуют также геометрические объекты с поворотной симметрией, не обладающие плоскостями зеркальной симметрии. Детская вертушка (рис. 1, г) может служить примером фигуры с поворотной симметрией, но не обладающей плоскостями симметрии, так как фигура основана на вращательных движениях лишь в одну сторону (без отражения).

Метод R-функций [3] позволяет строить для сложных ГО нормализованные уравнения их границ вида  $\omega(x, y, z) = 0$ , где  $\{\omega(x, y, z)\}$  — элементарные функции, представленные единым аналитическим выражением. При этом существенно важно, насколько простыми с вычислительной точки зрения оказываются формулы

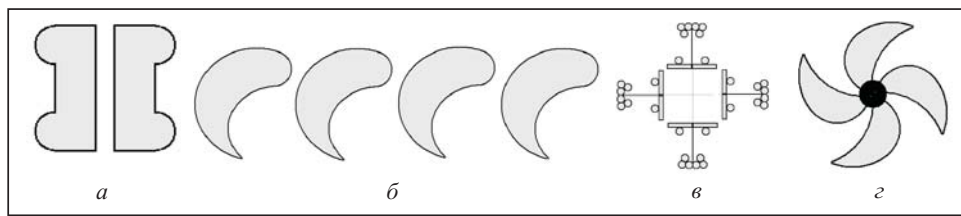


Рис. 1. Различные типы симметрии

$\omega(x, y, z)$ . Интересными в этом аспекте являются ГО, обладающие симметрией. Так, в обратной задаче аналитической геометрии возникла проблема построения уравнений сложных ГО, состоящих из элементов, многократно повторяющихся по тем или иным законам симметрии.

Суть этой проблемы заключается в том, что для задания геометрического объекта, в формировании которого многократно тиражируется один и тот же ГО, достаточно располагать лишь уравнением этого ГО и информацией о типе симметрии. Это означает, что для построения уравнения ГО, обладающего симметрией, вовсе не обязательно строить уравнения всех элементов рассматриваемого объекта, а затем с помощью  $R$ -функций осуществлять их компоновку. Возможен другой путь: располагая уравнением трансляционного элемента, выполнить в нем такое преобразование координат, которое позволило бы получить единое уравнение без применения  $R$ -операций, требующих значительных вычислительных затрат. Первая попытка в этом направлении была предпринята в работе [3] для ГО с симметрией трансляционного типа, при этом многие другие типы симметрии не были затронуты.

В работах [4–6] предложены новые подходы, раскрывающие возможности применения  $R$ -функций к построению нормализованных уравнений сложных ГО, обладающих симметрией, с ориентацией как на их использование при решении краевых задач для уравнений с частными производными, моделирующими поля различной физической природы (естественно, что при включении геометрической информации в структуры решений необходимо строить функции  $\omega(x, y, z)$  таким образом, чтобы они обладали необходимой симметрией), так и для других приложений, связанных с геометрическим дизайном.

Цель настоящей статьи — совершенствование конструктивных средств теории  $R$ -функций, основанных на преобразованиях координат, для построения нормализованных уравнений правильных многоугольников с последующей их трансляцией, в том числе на конечных интервалах.

В большинстве случаев для построения функций  $\omega$  используется система  $R$ -функций

$$\begin{cases} x \wedge_{\alpha} y = \frac{1}{1+\alpha} \left( x + y - \sqrt{x^2 + y^2 - 2\alpha xy} \right), \\ x \vee_{\alpha} y = \frac{1}{1+\alpha} \left( x + y + \sqrt{x^2 + y^2 - 2\alpha xy} \right), \\ \bar{x} = -x, \end{cases}$$

где  $\alpha = \alpha(x, y)$ ,  $-1 < \alpha \leq 1$ . Наиболее часто выбирают  $\alpha = 0; 1; 0,9$  или  $\alpha(x, y) = (1+x^2 + y^2)^{-1}$ . При необходимости дополнительно может быть реализовано условие нормализованности [3]  $\frac{\partial \omega}{\partial v} \Big|_{\omega=0} = 1$ , где  $\bar{v}$  — внутренняя нормаль.

#### ОСНОВНАЯ ЧАСТЬ

При рассмотрении ГО, обладающих симметрией, построение осуществляется путем использования некоторого ГО  $\Sigma_0 = [\sigma_0(x, y) \geq 0]$ , принимаемого за образец. Уравнение  $\sigma_0(x, y) = 0$  называют каноническим и (если это необходимо) строят его в нормализованном виде.

Введем преобразование координат для построения уравнений, соответствующих ГО с симметрией трансляции (бесконечного тиражирования) вдоль прямой. Впервые этот вопрос был рассмотрен в [3] для случая трансляционной симметрии вдоль оси в предположении, что транслируемые области могут быть отделены одна от другой некоторой периодической системой полос, перпендикулярных оси трансляции.

**Утверждение 1.** Пусть  $\Sigma_0 = [\sigma_0(x, y) \geq 0]$ ,  $\sigma_0 \in C^m(R^2)$ , есть ГО, симметричный относительно оси ординат, который может быть заключен в вертикальную полосу  $-a < x < a$ , а  $\Sigma_i = [\sigma_0(x - hi, y) \geq 0]$ ,  $i = 0, \pm 1, \pm 2, \dots$ , — ГО, полученные смещением  $\Sigma_0$  вдоль оси абсцисс на величины, кратные  $h > 2a$  (рис. 2, а), где  $h$  — шаг трансляции и функция  $\sigma_0(x, y)$  нормализована. Тогда граница  $\partial\Omega$  области  $\Omega = \bigcap_{i=-\infty}^{\infty} \bar{\Sigma}_i$  может быть задана уравнением

$$\omega(x, y) \equiv -\sigma_0(\mu(x, h), y) = 0, \quad (1)$$

где  $\mu(x, h) = \frac{4h}{\pi^2} \sum_{i=1}^{\infty} \frac{(-1)^{i+1}}{(2i-1)^2} \sin \frac{(2i-1)x\pi}{h}$ , при этом функция  $\omega(x, y)$  также будет нормализована. Однако отмечим, что использование этих частичных сумм Фурье может привести к значительным погрешностям при малом числе слагаемых. Хотя формулы (1) достаточно сложны для вычислений, они при построении уравнения  $\omega(x, y) = 0$  используются лишь один раз, в то время как при применении обычной методики  $R$ -операцию  $\wedge_\alpha$  приходится применять тем большее количество раз, чем больше число транслируемых элементов  $m$ .

Рассмотренное выше утверждение 1 было выведено в предположении, что ГО  $\Sigma_0$  симметричен относительно оси ординат. В противном случае задача несколько усложняется, так как применение формулы (1) к несимметричному относительно оси ординат ГО даст картину, изображенную на рис. 2, б, где видна зеркальная симметрия,

**Утверждение 2.** Пусть  $\Sigma_0 = [\sigma_0(x, y) \geq 0]$ ,  $\sigma_0 \in C^m(R^2)$  — геометрический объект, несимметричный относительно оси ординат (рис. 3), который может быть заключен в вертикальную полосу  $-a < x < a$ , а  $\Sigma_i = [\sigma_0(x - hi, y) \geq 0]$ ,  $i = 0, \pm 1, \pm 2, \dots$  — геометрические объекты, полученные смещением  $\Sigma_0$  вдоль оси абсцисс на величины, кратные  $h > 2a$ , где  $h$  — шаг трансляции и функция  $\sigma_0(x, y)$  нормализована. Тогда граница  $\partial\Omega$  области  $\Omega = \bigcap_{i=-\infty}^{\infty} \bar{\Sigma}_i$  может быть задана уравнением

$$\omega(x, y) \equiv \left\{ \sigma_0(\mu(x, h), y) \wedge_\alpha \cos \frac{x\pi}{h} \right\} \vee \left\{ \sigma_0(\mu(x-h, h), y) \wedge_\alpha \cos \frac{(x-h)\pi}{h} \right\} = 0, \quad (2)$$

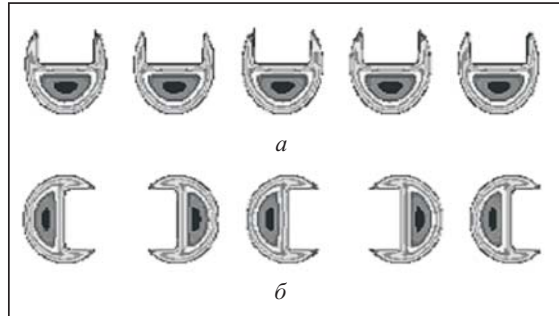


Рис. 2. Линии уровня функции  $\omega(x, y)$ , построенной по формуле (1), когда трансляционный элемент симметричен (а) и несимметричен (б) относительно оси ординат



Рис. 3. Линии уровня функции  $\omega(x, y)$ , построенной по формуле (2)

при этом функция  $\omega(x, y)$  также будет нормализована.

Рассмотрим преобразование координат для построения уравнений, соответствующих геометрическому объекту с точечной симметрией циклического типа (поворотная симметрия). Пусть  $\Sigma_0 = [\sigma_0(x, y) \geq 0]$  — некоторый ГО. Тогда  $\Sigma_1 = [\sigma_1(x, y) \equiv \sigma_0(x - r_0, y) \geq 0]$  — результат смещения  $\Sigma_0$  на расстояние  $r_0$  вдоль оси абсцисс. Построим уравнение  $\omega(x, y) = 0$  границы области  $\Omega = \bigcup_{k=1}^{k=n} \Sigma_k$ , полученной в результате поворота области  $\Sigma_1$  вокруг начала координат на углы  $\frac{2\pi k}{n}$  ( $k = 0, 1, \dots, n-1$ ).

**Утверждение 3.** Пусть указанная выше функция  $\sigma_0 \in C^m(R^2)$  нормализована, а геометрический объект  $\Sigma_1 = [\sigma_0(x - r_0, y) \geq 0]$  симметричен относительно оси абсцисс (рис. 4, *a*) и может быть размещен внутри сектора  $-\beta \leq \theta \leq \beta$ ,  $0 < \beta < \frac{\pi}{n}$ .

Тогда нормализованное уравнение  $\partial\Omega = [\omega(x, y) = 0]$ ,  $\omega \in C^m(R^2)$ , имеет вид

$$\omega(x, y) \equiv \sigma_0(r \cos \mu(n\theta) - r_0, r \sin \mu(n\theta)) = 0, \quad (3)$$

$$\text{где } \mu(n\theta) = \frac{8}{n\pi} \sum_k (-1)^{k+1} \frac{\sin\left[(2k-1)\frac{n\theta}{2}\right]}{(2k-1)^2}, \quad r = \sqrt{x^2 + y^2}, \quad \theta = \arctg \frac{y}{x}.$$

Если геометрический объект  $\Sigma_0$  несимметричен относительно оси абсцисс, то применение формулы (3) даст картину, изображенную на рис. 4, *б*, где просматри-

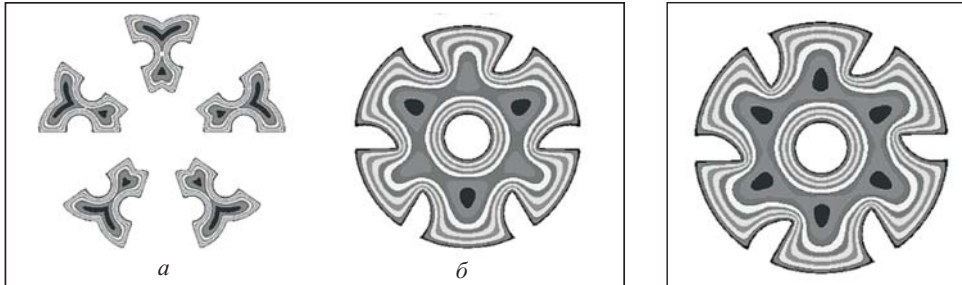


Рис. 4. Линии уровня функции  $\omega(x, y)$ , построенной по формуле (3), когда движущийся элемент симметричен (*a*) и несимметричен (*б*) относительно оси абсцисс

Рис. 5. Линии уровня функции  $\omega(x, y)$ , построенной по формуле (4)

вается зеркальная симметрия.

**Утверждение 4.** Пусть функция  $\sigma_0 \in C^m(R^2)$  нормализована, а геометрический объект  $\Sigma_1 = [\sigma_0(x - r_0, y) \geq 0]$  несимметричен относительно оси абсцисс (рис. 5) и может быть размещен внутри сектора  $-\beta \leq \theta \leq \beta$ ,  $0 < \beta < \frac{\pi}{n}$ . Тогда нормализованное уравнение  $\partial\Omega = [\omega(x, y) = 0]$ ,  $\omega \in C^m(R^2)$  имеет вид

$$\begin{aligned} \omega(x, y) \equiv & \left[ \sigma_0\left(r \cos \mu(n\theta) - r_0, r \sin \mu(n\theta)\right) \wedge_\alpha \cos\left(\frac{n\theta}{2}\right) \right] \vee_\alpha \\ & \vee_\alpha \left[ \sigma_0\left(r \cos \mu\left(n\left(\theta - \frac{2\pi}{n}\right)\right) - r_0, r \sin \mu\left(n\left(\theta - \frac{2\pi}{n}\right)\right)\right) \wedge_\alpha \cos\left(\frac{n}{2}\left(\theta - \frac{2\pi}{n}\right)\right) \right] = 0. \quad (4) \end{aligned}$$

Рассмотрим случай, когда правильные  $n_o$ -угольники транслируются с поворотной симметрией в правильном  $n_b$ -угольнике  $n_d$  раз (рис. 6). При этом все построения выполним с помощью двух функций:  $\sigma_1 \equiv x - R_1$  и  $\sigma_2 \equiv R_v - x$  (рис. 7, *а*).

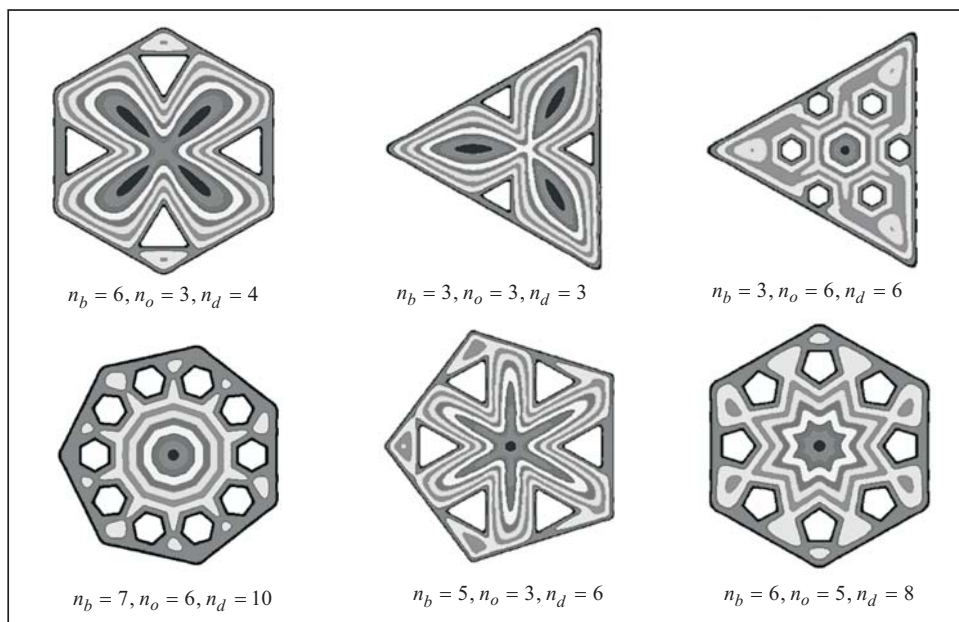


Рис. 6. Линии уровня функций  $\omega(x, y)$ , построенных с помощью двух прямых

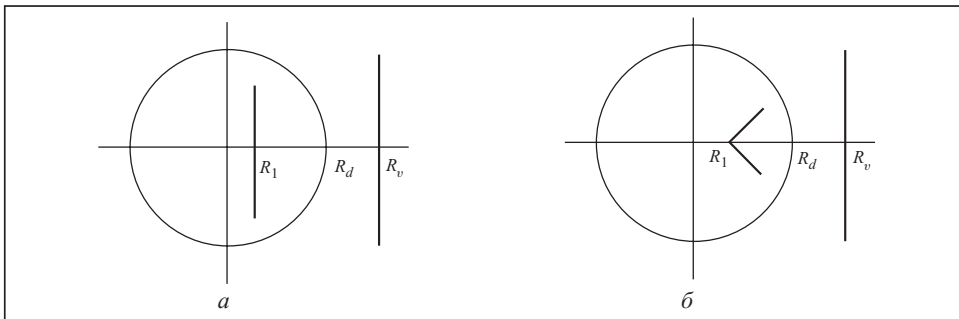


Рис. 7. Схема построения ГО, транслируемого в правильном  $n_b$ -угольнике  $n_d$  раз для правильного  $n_o$ -угольника (а) и для  $n_o$ -угольной звезды (б)

Для построения уравнения правильного  $n_o$ -угольника используем функцию  $\sigma \equiv x - R_1$  и формулу (3), а затем, перенося начало координат в точку  $(R_d, 0)$ , транслируем с поворотной симметрией  $n_o$ -угольник  $n_d$  раз снова по формуле (3). В результате получим  $\omega_t \equiv r_1 \cos \mu_1 - R_1 = 0$ , где  $r_1 = \sqrt{x_s^2 + y_s^2}$ ,  $\begin{cases} x_s = r \cos \mu_d - R_d, \\ y_s = r \sin \mu_d; \end{cases}$

$$\mu_d = \frac{8}{n_d \pi} \sum_k (-1)^{k+1} \frac{\sin \left[ (2k-1) \frac{n_d \theta}{2} \right]}{(2k-1)^2}$$

— преобразования переноса начала координат в точку  $(R_d, 0)$  и трансляции с поворотной симметрией  $n_d$  раз по окружности радиуса  $R_d$ ,  $\mu_1 = \frac{8}{n_o \pi} \sum_k (-1)^{k+1} \frac{\sin \left[ (2k-1) \frac{n_o \theta_1}{2} \right]}{(2k-1)^2}$ ;  $\theta_1 = \frac{1 - \operatorname{sign}(x_s)}{2} \pi + \arctg \frac{y_s}{x_s}$  — преобразования для правильного  $n_o$ -угольника.

Для построения уравнения внешнего правильного  $n_b$ -угольника воспользуемся функцией  $\sigma \equiv R_v - x$  и формулой (3). В результате получим  $\omega_v \equiv R_v - r \cos \mu_v = 0$ ,

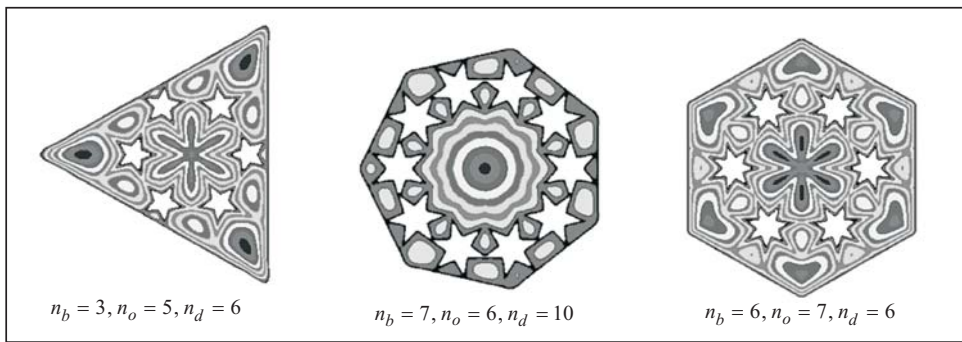


Рис. 8. Линии уровня функций  $\omega(x, y)$ , построенных с помощью трех прямых

$$\text{где } \mu_v = \frac{8}{n_b \pi} \sum_k (-1)^{k+1} \frac{\sin \left[ (2k-1) \frac{n_b \theta}{2} \right]}{(2k-1)^2}, \quad r = \sqrt{x^2 + y^2}.$$

Таким образом, нормализованное уравнение границы правильного  $n_o$ -угольника, транслированного с поворотной симметрией в правильном  $n_b$ -угольнике  $n_d$  раз, имеет вид  $\omega \equiv \omega_v \wedge_0 \omega_t = 0$  и является шестипараметрическим  $(n_o, n_b, n_d, R_1, R_d, R_v)$  семейством кривых. При этом следует отметить, что  $R$ -операция использовалась лишь один раз. Для сравнения рассмотрим простейший случай, когда  $n_b = 3, n_o = 3, n_d = 3$ . Применяя классический подход для построения функции  $\omega$ , необходимо задать шесть функций (шесть прямых) и применить семь  $R$ -операций.

Рассмотрим пример, когда правильные  $n_o$ -угольные звезды транслируются с поворотной симметрией в правильном  $n_b$ -угольнике  $n_d$  раз (рис. 8). При этом

$$\text{все построения выполним с помощью трех функций: } \sigma_1 \equiv \frac{(-y + k(x - R_1))}{\sqrt{1+k^2}},$$

$$\sigma_2 \equiv \frac{(y - k(-x + R_1))}{\sqrt{1+k^2}}, \text{ где } k = \frac{10 \sin(\pi / n_o)}{10 \cos(\pi / n_o) - 4}, \text{ и } \sigma_3 \equiv R_v - x \text{ (рис. 7, 6).}$$

Для построения уравнения  $n_o$ -угольной звезды конъюнтируем функции  $\omega_t \equiv \sigma_1 \wedge_0 \sigma_2 = 0$  и воспользуемся формулой (3). Затем, перенося начало координат в точку  $(R_d, 0)$ , транслируем с поворотной симметрией звезду  $n_d$  раз снова по формуле (3). В результате получим

$$\omega_t \equiv \left( \frac{(-\eta_1 \sin \mu_1 + k(\eta_1 \cos \mu_1 - R_1))}{\sqrt{1+k^2}} \right) \wedge_0 \left( \frac{(\eta_1 \sin \mu_1 - k(-\eta_1 \cos \mu_1 + R_1))}{\sqrt{1+k^2}} \right) = 0,$$

$$\text{где } \eta_1 = \sqrt{x_s^2 + y_s^2}; \quad \begin{cases} x_s = r \cos \mu_d - R_d, \\ y_s = r \sin \mu_d; \end{cases} \quad \mu_d = \frac{8}{n_d \pi} \sum_k (-1)^{k+1} \frac{\sin \left[ (2k-1) \frac{n_d \theta}{2} \right]}{(2k-1)^2}$$

преобразования переноса начала координат в точку  $(R_d, 0)$  и трансляции с поворотной симметрией звезды  $n_d$  раз по окружности радиуса  $R_d$ ,  $\mu_1 = \frac{8}{n_o \pi} \times$

$$\times \sum_k (-1)^{k+1} \frac{\sin \left[ (2k-1) \frac{n_o \theta_1}{2} \right]}{(2k-1)^2}; \quad \theta_1 = \frac{1 - \text{sign}(x_s)}{2} \pi + \arctg \frac{y_s}{x_s} — \text{ преобразования для построения } n_o\text{-угольной звезды.}$$

Для построения уравнения правильного  $n_b$ -угольника воспользуемся, как и в предыдущем случае, функцией  $\sigma \equiv R_v - x \geq 0$  и формулой (3). В результате получим

$$\omega_v \equiv R_v - r \cos \mu_v = 0, \text{ где } \mu_v = \frac{8}{n_b \pi} \sum_k (-1)^{k+1} \frac{\sin \left[ (2k-1) \frac{n_b \theta}{2} \right]}{(2k-1)^2}, \quad r = \sqrt{x^2 + y^2}.$$

Окончательно нормализованное уравнение границы области, полученной в результате трансляции с поворотной симметрией  $n_o$ -угольной звезды в правильном  $n_b$ -угольнике  $n_d$  раз, имеет вид  $\omega \equiv \omega_v \wedge_0 \omega_t = 0$  и также является шестипараметрным ческим семейством кривых. Отметим, что в данном случае  $R$ -операция использовалась дважды.

Рассмотрим преобразование координат для построения уравнений границ областей, соответствующих геометрическим объектам, транслированным конечное число раз вдоль прямой.

Преобразования координат (1) и (2) позволяют по заданным уравнению геометрического объекта  $\Sigma_0 = [\sigma_0(x, y) \geq 0]$  и шагу  $h$  получить уравнение границы области, представляющей собой бесконечную трансляцию  $\Sigma_0$  вдоль оси абсцисс. Используя преобразование поворота осей координат, легко получить аналогичное уравнение для произвольной прямой. Однако часто возникает необходимость построить уравнение границы области, полученной в результате трансляции  $\Sigma_0$  на некотором отрезке прямой конечное число раз.

Рассмотрим преобразование координат (рис. 9) с заранее определенным числом  $n < \frac{l}{a} + 1$  транслируемых геометрических объектов, каждый из которых может быть заключен в вертикальную полосу шириной  $a$ , на отрезке длиной  $l$

$$\mu^*(x, h) = (x \wedge_1 \mu(x, h)) \wedge_1^n ((x-1)(-1)^{n-1}), \quad (5)$$

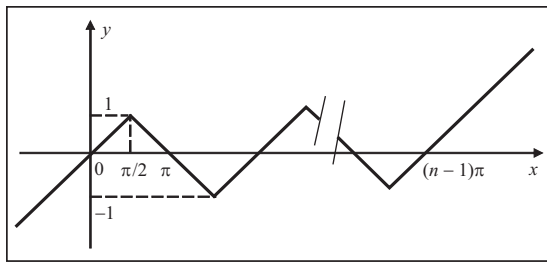


Рис. 9. График функции  $\mu^*(x, h)$

где  $\wedge_1^n = \frac{1}{2}(u+v+(-1)^{n-1}|u-v|)$ .

Рис. 10. Линии уровня функций  $\omega(x, y)$ , построенных с использованием преобразования (5)

$$\wedge_1^n = \frac{1}{2}(u+v+(-1)^{n-1}|u-v|).$$

В результате получим  $\omega(x, y) = -\sigma_0(\mu^*(x, h), y) = 0$ . На рис. 10 приведены примеры перфорации в виде кругов и прямоугольников с функцией  $\omega(x, y)$ , построенной с использованием преобразования координат (5).

Рассмотрим преобразование координат для построения уравнений границ областей, соответствующих геометрическим объектам, транслированным с поворотной симметрией вдоль дуги конечное число раз.

Преобразования координат (3), (4) позволяют по заданному уравнению геометрического объекта  $\Sigma_1 = [\sigma_0(x-r_0, y) \geq 0]$  найти уравнение  $\omega(x, y) = 0$  границы области

$$\Omega = \bigcup_{k=1}^{k=n} \Sigma_k, \text{ полученной в результате поворота геометрического объекта } \Sigma_1 \text{ вокруг начала координат на углы } \frac{2\pi k}{n} \quad (k = 0, 1, \dots, n-1).$$

Однако часто возникает необходимость построить уравнение, полученное в результате трансляции  $\Sigma_1$  с поворотной симметрией на некоторой дуге конечное число раз.

Преобразование координат осуществляется трансляцией элемента на интервале  $\varphi$  с шагом  $\theta_h$

$$\mu^*(\theta_1, \theta_h) = \left( \left( \theta_1 - \frac{\theta_h}{2} \right) \wedge_1 \mu(\theta_1, \theta_h) \right) \wedge_1 \left( \varphi - \left( \theta_1 + \frac{\theta_h}{2} \right) \right), \quad (6)$$

где  $\mu(\theta_1, \theta_h) = \frac{4\theta_h}{\pi^2} \sum_k (-1)^{k+1} \frac{\sin \left[ (2k-1) \left( \theta_1 - \frac{\theta_h}{2} \right) \frac{\pi}{\theta_h} \right]}{(2k-1)^2}$ ,  $\theta_1 = \theta - \pi + \frac{\varphi}{2}$ . При этом

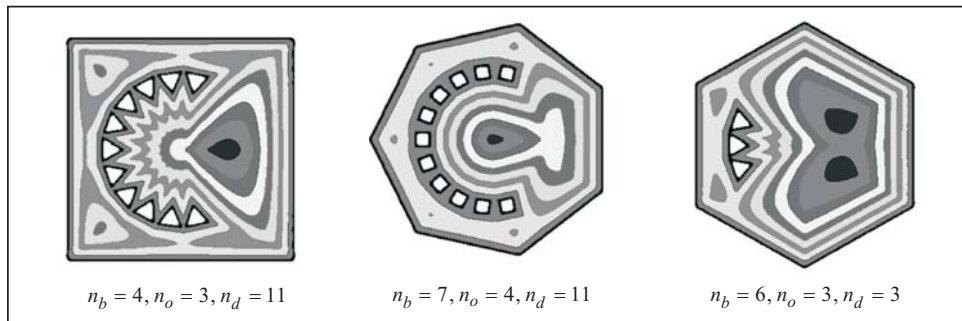


Рис. 11. Линии уровня функций  $\omega(x, y)$ , построенных с использованием преобразования (6)

$$n_d = \frac{\varphi}{\theta_h} — количество элементов на дуге.$$

На рис. 11 приведены примеры перфорации в виде треугольников и прямоугольников с функцией  $\omega(x, y)$ , построенной при использовании преобразования координат (6).

Отметим, что нормализованное уравнение  $\omega(x, y) = 0$  границы правильного  $n_o$ -угольника, транслированного с поворотной симметрией в правильном  $n_b$ -угольнике  $n_d$  раз на интервале трансляции  $\varphi$  ( $n_d = \frac{\varphi}{\theta_h}$  — количество элементов на интервале,  $\theta_h$  — шаг трансляции), является семипараметрическим  $(n_o, n_b, \varphi, \theta_h, R_1, R_d, R_v)$  семейством кривых. Заметим, что при построении преобразования (6)  $R$ -операция  $\wedge_0$  использовалась один раз, а  $\wedge_1$  — дважды.

## ВЫВОДЫ И ПЕРСПЕКТИВЫ

В отличие от классической схемы применения метода  $R$ -функций предлагаемый метод позволяет включать в вычислительные алгоритмы геометрическую информацию о геометрических объектах, сочетающих в себе различные типы симметрий. При этом построение нормализованных уравнений геометрических объектов не требует многократного использования  $R$ -операций, а осуществляется путем введения специальных преобразований координат, что позволяет существенно сократить вычислительные затраты во всех приложениях, требующих преобразования геометрической информации в аналитическую. Следует отметить новые преобразования координат, позволяющие осуществлять трансляцию геометрических объектов на конечных интервалах. Такие подходы особенно важны при решении проблемы автоматизации в задачах геометрического проектирования, твердотельного моделирования и при решении краевых задач математической физики. Большое количество научно-технических решений, опирающихся на исследования полей различной физической природы, связано с повышением проч-

ности, надежности, устойчивости, долговечности, добротности изделий и конструкций при наличии симметрии. Здесь можно назвать перфорированные пластины и оболочки (фюзеляжи самолетов, корпуса судов и космических кораблей с иллюминаторами); пилы, фрезы, зубчатые передачи; решетки в технике сверхвысоких частот и гидродинамических конструкциях; роторы турбин и бланкеты тепловыделающих элементов ядерных реакторов.

Новые методы построения нормализованных уравнений симметричных геометрических объектов и геометрических объектов, транслируемых на конечных интервалах, легко адаптируются к любому программному обеспечению и удобны при использовании метода стандартных примитивов [7]. Их численная реализация в системе ПОЛЕ подтвердила многократное сокращение временных затрат.

#### СПИСОК ЛИТЕРАТУРЫ

1. Узоры симметрии / Под ред. М. Сенешаль, Дж. Флека. — М.: Мир, 1980. — 272 с.
2. Вейль Г. Симметрия. — М.: Наука, 1968. — 144 с.
3. Рвачев В.Л. Теория  $R$ -функций и некоторые ее приложения. — Киев: Наук. думка, 1982. — 566 с.
4. Рвачев В.Л., Шapiro B., Sheiko T.I. Метод  $R$ -функций (RFM) в краевых задачах с геометрической и физической симметрией // Математичні методи та фізико-механічні поля. — 1998. — 41, № 1. — С. 146–159.
5. Рвачев В.Л., Шapiro B., Sheiko T.I. Применение метода  $R$ -функций к построению уравнений локусов, обладающих симметрией // Электромагнитные волны и электронные системы. — 1999. — 4, № 4. — С. 4–20.
6. Семерич Ю.С., Толок А.В., Шейко Т.И. Построение симметричных функций для симметричных чертежей // Вестник Запорож. гос. ун-та. — 2001. — № 2. — С. 83–98.
7. Максименко-Шейко К.В., Мацевитый А.М., Шейко Т.И. Автоматизация построения уравнений геометрических объектов в методе  $R$ -функций // Кибернетика и системный анализ. — 2006. — № 2. — С. 148–157.

Поступила 09.11.2007